

武藏工業大学正員 王 方一

河床の砂礫の始動は砂礫の形状、露出程度、表層の間隔、空隙率およびこれらの複雑な状態に対する流れの性状に依存する。密に配置された粒子列に單一粒子とのせんとせんの接触条件は實際の河床の条件と直接統がつくことは難しいが、ここでは單一粒子の形状、向き、露出度およびそれとの空向程度の影響をうかがっての実験であるいは実験観察した。

§1. 単一長円形粒子の轉動条件

抗力 F_x 、揚力 F_z 、水中重 G' の x を軸 x 、 z を河床に平行と垂直に取り、底面傾角を θ 、下流側の支持点に関する $x-z$ 軸を取れば

$$F_x l_x + F_z l_z + l_{Gx} G' \sin \theta = l_{Gz} G' \cos \theta \quad \dots \dots \dots \quad (1)$$

ここで l_x 、 l_{Gx} は F_x 、 G' の x 方向成分の作用距離である。

$$F_x = \frac{1}{2} \rho C_{Dx} d_{2x}^2 d_{2x} d^2 \quad \dots \dots \dots \quad (2-1); \quad F_z = \frac{1}{2} \rho C_{Dz} d_{2z}^2 d_{2z} d^2 \quad \dots \dots \dots \quad (2-2)$$

$$G' = d_3 d^2 g (\rho_s - \rho) \quad \dots \dots \dots \quad (2-3) \quad \text{とすれば}$$

$$d_{2x}^2 = A_K^2 g s_i d \quad \dots \dots \dots \quad (3); \quad A_K^2 = N_K^2 / D_K^2 \quad \dots \dots \dots \quad (4)$$

$$\therefore l_x = D_K^2 = (C_{Dx}/2d_3) \left\{ d_{2x} (l_x/l_{Gx}) + d_{2z} (l_z/l_{Gx}) r_K \right\} \quad \dots \dots \dots \quad (4-1)$$

$$N_K^2 = (l_{Gz}/l_{Gx}) \cos \theta - \sin \theta \quad \dots \dots \dots \quad (4-2)$$

$$r_K = C_{Dz}/C_{Dx} \quad \dots \dots \dots \quad (4-3)$$

底面作用点と粒子重心までの間隔 $l_x = l_{Gx}$ 、 $l_z = l_{Gz}$

$$D_K^2 = (C_{Dx}/2d_3) \left\{ d_{2x} + d_{2z} \tan \phi \cdot r_K \right\} \quad \dots \dots \dots \quad (5-1)$$

$$N_K^2 = \tan \phi \cos \theta - \sin \theta \quad \dots \dots \dots \quad (5-2)$$

$$\tan \phi = l_{Gz}/l_{Gx} \quad \dots \dots \dots \quad (5-3)$$

今、粒子を長円形とし、 $\rightarrow \sum_{dx} \frac{1}{4} d^2 \sum_{dz} \frac{1}{4} d^2 A_K = d_{2x} d^2$ 、 $d_{2x} = \beta_2 \beta_2 \frac{\pi}{4}$ 、 α すなはち α すなはち i 、 $d_{2z} = \beta_2 \beta_2 \frac{\pi}{4}$ 、 $d_3 = \beta_2 \beta_2 \frac{\pi}{4}$ 、 $\beta_2 = d_3/d$ 、 $\beta_2 = d_2/d$ 、すなはち $l_{Gz} = \frac{1}{2} \beta_2 \mu_2$ 、 $l_{Gx} = \frac{1}{2} \beta_2 \mu_2$ すなはち

$$D_K^2 = \frac{3}{4} C_{Dx} \left\{ \frac{1}{\beta_2} + \frac{1}{\beta_2} \tan \phi \cdot r_K \right\} \quad \dots \dots \dots \quad (6-1)$$

$$N_K^2 = \tan \phi \cos \theta - \sin \theta \quad \dots \dots \dots \quad (6-2)$$

$$\tan \phi = (\beta_2/\beta_2) (\mu_2/\mu_2) \quad \dots \dots \dots \quad (6-3)$$

Coleman (1967, proc 12th IAHR, C-22) すなはち、球 α と A型配管 \rightarrow すなはち $\mu_2 = \sqrt{2}\sqrt{3}$ 、 $\mu_2 = \sqrt{3}$ ；また B型配管 \rightarrow すなはち $\mu_2 = \sqrt{2}\sqrt{3}$ 、 $\mu_2 = \sqrt{3}$ 後者すなはち $\mu_2/\mu_2 = 0.5$ 、後者すなはち $\mu_2/\mu_2 = \sqrt{2}$ となる。

長円形の場合 α 、 μ_2 と μ_2 は積算していないが、球の場合と同様すなはち

$$A型: \tan \phi = 0.5 (\beta_2/\beta_2) \quad \dots \dots \dots \quad (7-A); \quad B型: \tan \phi = \sqrt{2} (\beta_2/\beta_2) \quad \dots \dots \dots \quad (7-B)$$

さらに浮体中間状態 α 、 $\mu_2 = 1$ 、 $\mu_2 = 1$ の場合をも假定すれば $\tan \phi = (\beta_2/\beta_2)$ $\dots \dots \dots \quad (7-C)$

- 今、 $\mu_2/\mu_x = (a)$: $\beta_y=1$, $\beta_x=\frac{2}{3}$, $\beta_z=\frac{1}{3}$ (長絶流(流向と一致) 繰り返し $\beta_x=0.75$, $\beta_y/\beta_z=2$)
 (b): $\beta_x=1$, $\beta_y=\frac{2}{3}$, $\beta_z=\frac{1}{3}$ (中絶流(流向と一致) 繰り返し $\beta_x=1$, $\beta_y/\beta_z=1.5$) (c): $\beta_x=1$, $\beta_y=1$
 $\beta_z=1$ (短流) 繰り返し $\beta_x=1$, $\beta_y/\beta_z=1$ の3つを場合分けして2つずつ。この3つの数値を用いては

[A] $\mu_2/\mu_x=0.5$ のとき:

$$(a): \beta_x=\frac{2}{3}, \beta_z=\frac{1}{3} \text{ (流向一致): } \tan\phi=1, \tan\phi/\beta_z=3$$

$$D_K^2 = \frac{3}{4} C_{0x} (0.75 + 1.5 r_K) \quad \dots \quad (8-1); \quad N_K^2 = \cos\theta - \sin\theta \quad \dots \quad (8-2)$$

$$(b) \beta_x=1, \beta_z=\frac{1}{3} \text{ (流向一致): } \tan\phi=0.75, \tan\phi/\beta_z=\frac{3}{8}$$

$$D_K^2 = \frac{3}{4} C_{0x} (1 + \frac{3}{8} r_K) \quad \dots \quad (9-1); \quad N_K^2 = 0.75 \cos\theta - \sin\theta \quad \dots \quad (9-2)$$

$$(c) \beta_x=1, \beta_z=1 \text{ (短流): } \tan\phi=0.5, \tan\phi/\beta_z=0.5$$

$$D_K^2 = \frac{3}{4} C_{0x} (1 + 0.5 r_K) \quad \dots \quad (10-1); \quad N_K^2 = 0.5 \cos\theta - \sin\theta \quad \dots \quad (10-2)$$

[B] $\mu_2/\mu_x=\sqrt{2}$ のとき:

$$(a): \beta_x=\frac{2}{3}, \beta_z=\frac{1}{3} \text{ (流向一致): } \tan\phi=2\sqrt{2}, \tan\phi/\beta_z=3\sqrt{2}$$

$$D_K^2 = \frac{3}{4} C_{0x} (0.75 + 3\sqrt{2} r_K) \quad \dots \quad (11-1); \quad N_K^2 = 2\sqrt{2} \cos\theta - \sin\theta \quad \dots \quad (11-2)$$

$$(b) \beta_x=1, \beta_z=\frac{1}{3} \text{ (流向一致): } \tan\phi=1.5\sqrt{2}, \tan\phi/\beta_z=\frac{9}{4}\sqrt{2}$$

$$D_K^2 = \frac{3}{4} C_{0x} (1 + \frac{9}{4}\sqrt{2} r_K) \quad \dots \quad (12-1); \quad N_K^2 = 1.5\sqrt{2} \cos\theta - \sin\theta \quad \dots \quad (12-2)$$

$$(c) \beta_x=1, \beta_z=1 \text{ (短流): } \tan\phi=\sqrt{2}, \tan\phi/\beta_z=\sqrt{2}$$

$$D_K^2 = \frac{3}{4} C_{0x} (1 + \sqrt{2} r_K) \quad \dots \quad (13-1); \quad N_K^2 = \sqrt{2} \cos\theta - \sin\theta \quad \dots \quad (13-2)$$

[C]: $\mu_2/\mu_x=1$ のとき:

$$(a): \beta_x=\frac{2}{3}, \beta_z=\frac{1}{3}: \tan\phi=2, \tan\phi/\beta_z=3$$

$$D_K^2 = \frac{3}{4} C_{0x} (0.75 + 3 r_K) \quad \dots \quad (14-1); \quad N_K^2 = 2 \cos\theta - \sin\theta \quad \dots \quad (14-2)$$

$$(b): \beta_x=1, \beta_z=\frac{1}{3}: \tan\phi=1.5, \tan\phi/\beta_z=\frac{9}{4}$$

$$D_K^2 = \frac{3}{4} C_{0x} (1 + \frac{9}{4} r_K) \quad \dots \quad (15-1); \quad N_K^2 = 1.5 \cos\theta - \sin\theta \quad \dots \quad (15-2)$$

$$(c): \beta_x=1, \beta_z=1 \text{ (短流): } \tan\phi=1, \tan\phi/\beta_z=1$$

$$D_K^2 = \frac{3}{4} C_{0x} (1 + r_K) \quad \dots \quad (16-1); \quad N_K^2 = \cos\theta - \sin\theta \quad \dots \quad (16-2)$$

限界無次元揚着力 T_{rc} は $T_{rc}=A_K^2/c_{0x}^2 t_K^2$ (\rightarrow $a_b=\bar{u}_b/u_x=8.5+5.78 \lg \frac{b}{d}$, $b=ad$, $t_K=1+\eta K$, $K=62/\bar{u}_b$) を計算出来、 a_b , n , K が一定であれば球形の T_{rc} (流向一致の長方形粒子の T_{rc} は A_K^2/A_{K0}^2 の値から)。次に表の数値となる。 A_K^2 は球形の A_K^2 , $\cos\theta \approx 1$, $\sin\theta \approx 0$ とした。

	A: $\mu_2/\mu_x=0.5$	B: $\mu_2/\mu_x=\sqrt{2}$	C: $\mu_2/\mu_x=1$
	(8)/ $A_K^2/(10)/A_{K0}^2$	(9)/(10)	(11)/(13) (12)/(13)
$r_K=0.25$	2	1.32	1.50 0.89
$r_K=0.85$	1.41	1.09	1.01 0.89

A_K^2/A_{K0}^2 が1より大きければ球子の轉向は左へ、小さいければ右へ。上表の数値より、中絶流流向に平行、B型配置alphaは1より左へ存在しており球子の転向は左へとなることと示す。これらの比値は $\beta_x, \beta_y, \beta_z$ の値によって変化するから T_{rc} の値もこれらに依存するところである。今 A型配置alphaは、 $C_{0x} \approx 0.40$, $a_b=\bar{u}_b/u_x=6.77$ ($b=a_s d$ は相当) で座標原点

を 球列傾角 δ が $2d$ 下とすれば球の中心高さ $b = 0.2d - \frac{1}{4}(2 - \sqrt{3})d + 0.5d = 0.506d \approx 0.5d$; $n=3$, $t_k = 1+nK$, $K = 5u/u_* a_b$, $5u/u_* = 2.2 - 0.53 \lg(u_* b/\mu)$ (Bayasi & 1972) と A_k^2 と (8) (9) (10) などを用いて $T_{rc} = A_k^2 / a_b^2 t_k^2$ ($r_k = 0.25$, $r_k = 0.85$ の 2通りに分ける) を計算すれば図-1 のようになる。

§ 2: 実験 (1)

幅 20 cm, 長さ約 11 m の水路底に 5.66 mm 節残留, 6.73 mm 通過 (平均 6.2 mm) の砂礫をばりつけ, ほぼ中央に長さ 25 cm の区間だけを 6.6 mm 径のガラス球 (比重 2.3) を垂直型に密に配置し, その上に, 横にほぼ等間隔に単独ガラス球 5個をのせ, 水深を徐々に増しながら ($i = 1/100$) 移動限界水深を観察した。最初と最後に移動するときの水深はかなり異なり, 速度変動の偏心性のために, 増水後の放置時間と配管作業の精度が原因と考えられる。ガラス球 5個は No. 1 ~ 23 回に亘る観察結果を図-2 に示す (実験番号 1, 2, 3)。描画番号は下流に向って左より No. 1 ~ 5 と記す。また同じガラス球の密度列の上の 横向砂利 (実験番号 4; $d_x = 6.6$ mm, $dy = \frac{4}{3}dx$, $d_2 = \frac{2}{3}dx$ のものを選んだ) やよび縦向砂利 (実験番号 5; $dy = 6.6$ mm, $d_x = \frac{4}{3}dy$, $d_2 = \frac{2}{3}dy$) について観察した T_{rc} を図-2 に示す。

始動の様子について: ガラス球はほどこりで移動が始まり, 中径と底面に平行にかけた砂利も中短径で轉動が始めるが, 長径と流向向きにおいて砂利は長径で轉動するものもある。消りながら横方向に方向がえり、また中短径で轉動するときもある。

§ 3. 実験 (2)

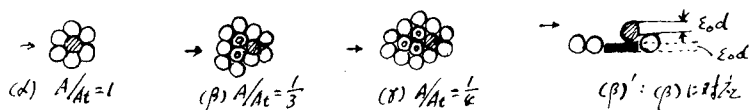


図 (a), (b), (c) に示す平面配置について, 自由状態のガラス球 \odot を底より 1 mm づつ 5段階あげ, 密度 ε_0 を変化させて移動開始を観察した。○は固定球, ○は空白を示し, 空白部分は \odot の下縁と同一高さの同径円柱でめた。従って \odot と空白部の面積比はほどく (a): 1, (b): $\frac{1}{3}$ (c): $\frac{1}{2}$ となる。各場合について 横方向に等間隔に 5個所作り, 左より No. 1 ~ 5 と記す。

(a), (b), (c) について記録した T_{rc} を ε_0 との関係で示すと図-3, 4, 5 になる。ただしこれらの場合には T_{rc} の算出には h_c を用い, 側壁の影響による補正是しなかった。 ε_0 の影きようは目立つが, 空白の影きようはほとんど現われていない。 $\varepsilon_0 d = 5$ mm は $\varepsilon_0 = 0.76$ (= 相当), 密配列上の單一粒子 ($\varepsilon_0 \approx 0.8$) と極めて近い状態にある。これらの描画を平均すると運動の特性を見失うが A/Ac による大体の影きようはわかる (図-6)。

§ 4 結論: § 2 で單一粒子の形状, 向きが $tan\delta$ と T_{rc} に影きようするとして示し, また実験を行つたが一步進んで検討のはじめ多くの自由粒子を使用する必要があると考える。

実際の河床の表層は單一粒子ではなく間隔 $s > d$ の後流干涉型配列に近い。表層を $\odot\odot\odot$ あるいは $\odot\odot\odot\odot$ の場合について自由粒子の s ~ 7 個について粗粒化観察した所, 単一粒子の場合の T_{rc} に比して 平均的に約 2 倍の結果を得た。この場合の自由粒子の受力状況は單一のものと異なり別な取扱い方が必要と思われる。

